

Отметим, что кривые отражения, получаемые двух- и трехкристалльной дифрактометрией в обычной компланарной геометрии измерений, достаточно хорошо определяют, присутствует ли мозаичность в слое GaAsP, но вид этих кривых не меняется при изменении глубины залегания дислокационной сетки.

Наблюдавшаяся высокая чувствительность кривых отражения в условиях скользящей дифракции к дислокационным сеткам в тонких приповерхностных областях может быть использована как метод выявления этих сеток.

В заключение авторы выражают глубокую благодарность Д. З. Гарбузову за любезно предоставленные образцы гетероструктур и Т. С. Аргуновой за полезное обсуждение результатов.

Литература

- [1] Marra W. C., Eisenberger P., Cho A. Y. J. Appl. Phys., 1979, v. 50, N 11, p. 6927—6933.
 [2] Ajanasev A. M., Melkonyan M. K. Acta Cryst., 1983, v. A39, N 2, p. 207—210.
 [3] Александров П. А., Мелконян М. К., Степанов С. А. Кристаллография, 1984, т. 29, № 2, с. 29—31.
 [4] Щелов М. П., Кютт Р. Н., Сорокин Л. М. ЖТФ, 1987, т. 57, № 7, с. 1436—1438.

Физико-технический институт
им. А. Ф. Иоффе АН СССР
Ленинград

Поступило в Редакцию
27 августа 1987 г.

УДК 537.533.3

Журнал технической физики, т. 58, в. 3, 1988

ПРОСТРАНСТВЕННО-ВРЕМЯПРОЛЕТНАЯ ФОКУСИРОВКА ШИРОКОГО ПОТОКА ЗАРЯЖЕННЫХ ЧАСТИЦ В ЭЛЕКТРОСТАТИЧЕСКИХ ПОЛЯХ

З. Т. Адилова, Е. М. Якушев

В последнее время в технике и практике физического эксперимента все большее применение находят существенно нестационарные потоки заряженных частиц — короткие импульсы тока, длительность которых сравнима или, может быть, много меньше времени пролета частиц в системе. В этой статье, следуя предложенному в [1] методу, выведены уравнения фокусировки нестационарного потока частиц в электростатическом поле в предположении, что скорости частиц и плотности потоков настолько малы, что релятивистскими эффектами и взаимодействием частиц между собой можно пренебречь.

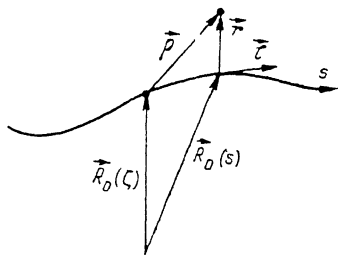
Рассмотрим поток частиц одинаковых удельных зарядов q , движущихся в стационарном электрическом поле, характеризуемом скалярным потенциалом $\varphi = \varphi(\mathbf{R})$, где \mathbf{R} — радиус-вектор точки. Одну из этих частиц назовем ведущей. Примем, что форма траектории ведущей частицы задана в виде явной зависимости радиуса-вектора этой частицы $\mathbf{R} = \mathbf{R}_0(s)$ от длины дуги s , измеренной вдоль траектории. Введем ортогональную систему криволинейных координат с осью s . Радиус-вектор \mathbf{R} любой точки пространства запишем в виде $\mathbf{R} = \mathbf{R}_0(s) + \mathbf{r}$, причем $\mathbf{r}\tau = 0$, где $\tau(s) = d\mathbf{R}_0/ds$ — единичный вектор направления оси s . Положение ведущей частицы на оси s в момент времени t обозначим через ζ . Положение любой другой частицы в этот же момент времени t будем определять вектором ρ , проведенным к ней от ведущей частицы (см. рисунок). При этом имеет место равенство

$$\mathbf{R} = \mathbf{R}_0(\zeta) + \rho = \mathbf{R}_0(\zeta + \eta) + \mathbf{r},$$

где $\eta = s - \zeta$ — продольное смещение в s -направлении произвольной и ведущей частиц относительно друг друга, а \mathbf{r} — поперечное смещение произвольной частицы от оси s . Для ведущей частицы следует положить: $\mathbf{r} \equiv 0$, $\eta \equiv 0$.

Потенциал $\varphi = \varphi(s, \mathbf{r})$ нормируем так, чтобы полная энергия ϵ для ведущей частицы была равна нулю. Тогда из закона сохранения энергии следует

$$\zeta = \sqrt{-2q\Phi(\zeta)}, \quad (1)$$



где $\Phi(s) = \varphi(s, 0)$ — распределение потенциала вдоль оси s ; $\Phi(\zeta)$ — та же функция аргумента ζ .

Для скорости v произвольной частицы можно получить

$$v = \sqrt{-2q\Phi(\zeta)} \left((1 + \eta') \tau(s) + \mathbf{r}' \right). \quad (2)$$

Здесь и в дальнейшем штрихами обозначено дифференцирование по переменной ζ . Величину ζ введем в качестве независимой переменной в вариационное уравнение движения частицы

$$\delta \int_{\zeta_1}^{\zeta_2} L d\zeta = 0,$$

где δ — символ варьирования; ζ_1, ζ_2 — начальное и конечное значение переменной ζ . В принятой системе координат вариационная функция L преобразуется к виду

$$L = \sqrt{\Phi(\zeta)} \left[\mathbf{r}'^2 + (1 + \eta')^2 \left(1 - \frac{\mathbf{r}\mathbf{E}(s)}{\Phi(s)} \right) \right] + \frac{\varphi(s, \mathbf{r})}{\sqrt{\Phi(\zeta)}}. \quad (3)$$

При выводе этого выражения было учтено равенство

$$\mathbf{r}'\tau(s) = - (1 + \eta') \mathbf{r} \frac{d\tau}{ds},$$

следующее из ортогональности системы координат, и равенство

$$\frac{d\tau}{ds} = \frac{E(s)}{2\Phi(s)},$$

представляющее собой уравнение осевой траектории, где E — нормальная к оси s -составляющая напряженности электрического поля ($E\tau = 0$). Используя выражение (3), получим уравнение поперечной фокусировки

$$2\Phi(\zeta) \mathbf{r}'' + \Phi'(\zeta) \mathbf{r}' = \frac{\partial \varphi(s, \mathbf{r})}{\partial \mathbf{r}} - (1 + \eta')^2 E(s) \frac{\Phi(\zeta)}{\Phi(s)}. \quad (4)$$

Уравнение продольной фокусировки проще всего получить, опираясь непосредственно на закон сохранения энергии, выразив в нем скорость частицы в соответствии с равенством (2)

$$\Phi(\zeta) \left[\mathbf{r}'^2 + (1 + \eta')^2 \left(1 - \frac{\mathbf{r}\mathbf{E}(s)}{\Phi(s)} \right) \right] - \varphi(s, \mathbf{r}) = \varepsilon. \quad (5)$$

Выведенная система уравнений (4), (5) описывает отклонение в радиальном и в аксиальном направлениях любой произвольной частицы от ведущей в зависимости от положения последней на оси системы.

В уравнениях (4), (5) явная зависимость координат частиц \mathbf{r} и η от времени пролета t исключена. При этом информацию о времяпролетных характеристиках электронно-оптической системы дает величина η . Действительно, вследствие синхронности движения произвольной и связанной с ней ведущей частиц время их пролета от начального момента времени (соответствующего значению $\zeta = \zeta_1$) до любого другого момента ($\zeta = \zeta_2$), согласно уравнению (1), равно

$$t = \frac{1}{\sqrt{2q}} \int_{\zeta_1}^{\zeta_2} \frac{d\zeta}{\sqrt{\Phi(\zeta)}}. \quad (6)$$

За это время каждая из множества частиц достигает своей плоскости $s = s_2$. Эти плоскости в общем случае между собой не совпадают, причем их параллельные смещения относительно друг друга определяются зависимостью величины η_2 от начальных условий для всего этого множества частиц. Наоборот, некоторую выбранную плоскость $s_2 = \text{const}$ все частицы этого множества пересекают в разные моменты времени. Разброс Δt моментов времени пересечения выбранной плоскости $s = s_2$ характеризует времяпролетные aberrации электронно-оптической системы. На основании (6) с учетом соотношения $\zeta = s - \eta$ получим $t = T + \Delta t$, где

$$T = \frac{1}{\sqrt{2q}} \int_{s_1}^{s_2} \frac{ds}{\sqrt{\Phi(s)}} \quad (7)$$

представляет собой время пролета ведущей частицы между плоскостями $s=s_1$ и $s=s_2$, а величина

$$\Delta t = -\frac{1}{\sqrt{2g}} \int_{s_1}^{s_1-\tau_1} \frac{dz'}{\sqrt{\Phi(z')}} + \frac{1}{\sqrt{2g}} \int_{s_2}^{s_2-\tau_2} \frac{dz'}{\sqrt{\Phi(z')}} \quad (8)$$

имеет смысл суммарной времяпролетной абберации в плоскости $s=s_2$, причем первое слагаемое в равенстве (8) определяется временной структурой потока в начальной плоскости $s=s_1$.

Если задан ансамбль частиц с разными значениями начальных величин (r_1 , r'_1 , ε) при $z=z_1$, то с помощью системы уравнений (4), (5), (8) можно проследить за изменением структуры этого ансамбля в процессе его перемещения в электронно-оптической системе и исследовать, таким образом, эффекты радиальной и аксиальной фокусировки, а также времяпролетные характеристики электронно-оптической системы.

Важно отметить, что выведенная система уравнений допускает разложение в ряд по степеням малых величин g и τ , что позволяет исследовать эффекты фокусировки коротких импульсов тока в первом порядке и учесть пространственные и времяпролетные абберации более высоких порядков малости [2]. Отметим также, что при этом не исключаются из рассмотрения эмиссионные системы и зеркала, так как линеаризация системы уравнений (4) и (5) производится без наложения обычных для электронной оптики условий малости величин

$$|r'| \ll 1, \quad \varepsilon/\varphi \ll 1.$$

В этом отношении выведенная система уравнений выгодно отличается от уравнений широкого потока, полученных Фрейкманом [3].

Литература

- [1] Якушев Е. М., Сапаргалиев А. А., Еленгеев А. К. ЖТФ, 1985, т. 55, № 7, с. 1291—1299.
 [2] Адилова З. Т., Якушев Е. М. Деп. ВИНТИ, 1986, № 86.
 [3] Фрейкман Б. Г. ЖТФ, 1983, т. 53, № 11, с. 2119—2124.

Институт ядерной физики
 АН КазССР
 Алма-Ата

Поступило в Редакцию
 21 мая 1986 г.
 В окончательной редакции
 17 ноября 1986 г.

О РАБОТЕ ДИОДА МАГНЕТРОННОГО ТИПА С МНОГООСТРИЙНЫМ ВЗРЫВОЭМИССИОННЫМ КАТОДОМ

В. Т. Астрелин, В. Г. Ковалев, О. Л. Комаров, В. Б. Марков,
 О. П. Печерский, Ю. М. Савельев, К. И. Ткаченко,
 В. И. Энгелько

В исследованиях [1-4] было показано, что использование в диодах магнетронного типа многоострийных взрывоэмиссионных катодов (МВК) позволяет получать трубчатые сильно-точные электронные пучки (СЭП) длительностью до $\sim 10^{-4}$ с. В [2, 3] эксперименты проводились с МВК, имеющим угол раствора конуса $2\alpha_k = 5.4^\circ$. Целью экспериментов, результаты которых описываются в настоящей работе, являлось исследование возможности увеличения первеанса магнетронного диода с МВК за счет увеличения α_k . Приводятся также результаты численного анализа формирования электронного потока в исследуемом диоде и их сопоставление с экспериментальными данными.

Методика проведения эксперимента

Схема эксперимента показана на рис. 1. Использовался МВК с углом раствора конуса $2\alpha_k = 28^\circ$. Длина рабочей поверхности МВК равнялась 32 см, максимальный и минимальный радиусы — 13 и 5 см соответственно. В отличие от использовавшейся ранее схемы [2], где